

УДК 517.977.5

## Математическое моделирование технологической схемы процесса сополимеризации.

© Э. Н. Мифтахов<sup>1</sup>, Л. И. Насырова<sup>2</sup>

**Аннотация.** В работе построена математическая модель кинетической схемы процесса сополимеризации. При моделировании используется метод моментов. При переходе к непрерывным промышленным реакторным системам учитывается влияние гидродинамического и энергетического уровней.

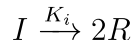
**Ключевые слова:** сополимеризация, кинетическая схема, метод моментов.

### 1. Кинетическая схема сополимеризации бутадиена со стиролом

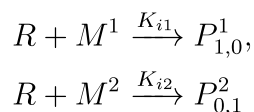
При построении модели сополимеризации будем исходить из того, что реакционная способность активного центра на конце растущей цепи определяется лишь природой концевого звена[1]. Поэтому будем рассматривать по четыре элементарных реакции роста и обрыва цепи с участием двух мономеров  $M^1$  и  $M^2$  и двух типов растущих цепей, отличающихся природой концевого звена.

Кинетическая схема сополимеризации бутадиена со стиролом включает в себя следующие стадии:

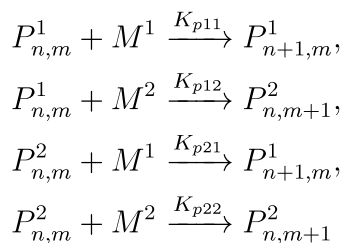
1. Распад инициатора



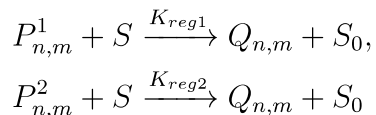
2. Инициирование активных центров



3. Рост цепи



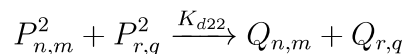
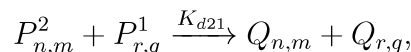
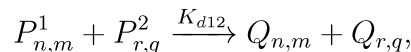
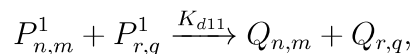
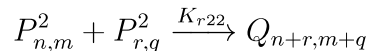
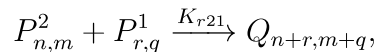
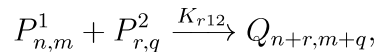
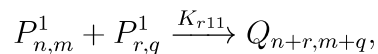
4. Передача цепи



<sup>1</sup> Аспирант Стерлитамакской государственной педагогической академии им. Зайнаб Биишевой, г. Стерлитамак; promif@mail.ru.

<sup>2</sup> Аспирант Стерлитамакской государственной педагогической академии им. Зайнаб Биишевой, г. Стерлитамак; prikladniki@rambler.ru

## 5. Обрыв цепи (рекомбинация и диспропорционирование)



где  $M_1, M_2$  - мономеры первого и второго типа соответственно;  $P_{m,n}$  и  $Q_{m,n}$  - соответственно, активные и неактивные цепи полимера длиной  $m+n$ , состоящей из  $m$  звеньев мономера  $M^1$  и  $n$  звеньев мономера  $M^2$ ;  $k_i, k_p, k_{reg}, k_d, k_r$  - константы элементарных стадий инициирования, роста, передачи цепи, диспропорционирования и рекомбинации соответственно.

## 2. Математическая модель

Составляя матрицу стехиометрических коэффициентов и умножая ее на вектор-столбец скоростей реакции получим бесконечную систему дифференциальных уравнений (2.1).

Если ограничить длину цепи  $m$  или  $n$  величиной  $R$ , то общее число уравнений в системе (2.1), в лучшем случае составит  $3R^2$ . Обычно значение  $R$  колеблется от  $10^3$  до  $10^5$ , так что процесс описывается практически бесконечной системой нелинейных дифференциальных уравнений.

Статическая теория полимеризации исходит из предположения о возможности анализа ММР по средним молекулярным массам  $M_n$ ,  $M_w$  и  $M_z$ . Важной характеристикой ММР являются различные соотношения средних молекулярных масс. Анализируя эти соотношения можно получить данные о механизме полимеризации и его особенностях. Для анализа вводятся понятия моментов, обычно применяемые в статистике и теории вероятностей для оценки распределения случайных величин[2].

$$\left\{
\begin{aligned}
& \frac{dP_{0,m}^1}{dt} = -k_{p11}M^1P_{0,m}^1 - k_{p12}M^2P_{0,m}^1 - K_{reg1}SP_{0,m}^1 - k_{d11}P_{0,m}^1 \sum_{r,q=0}^{\infty} P_{r,q}^1 - \\
& - k_{d12}P_{0,m}^1 \sum_{r,q=0}^{\infty} P_{r,q}^2 - k_{r11}P_{0,m}^1 \sum_{r,q=0}^{\infty} P_{r,q}^1 - k_{r12}P_{0,m}^1 \sum_{r,q=0}^{\infty} P_{r,q}^2, \quad m \geq 0, \\
& \frac{dP_{0,m}^2}{dt} = -k_{p21}M^1P_{0,m}^2 - k_{p22}M^2P_{0,m}^2 + k_{p12}M^2P_{0,m-1}^1 + K_{p22}M^2P_{0,m-1}^2 - \\
& - K_{reg2}SP_{0,m}^2 - k_{d21}P_{0,m}^2 \sum_{r,q=0}^{\infty} P_{r,q}^1 - k_{d22}P_{0,m}^2 \sum_{r,q=0}^{\infty} P_{r,q}^2 - k_{r21}P_{0,m}^2 \sum_{r,q=0}^{\infty} P_{r,q}^1 - \\
& - k_{r22}P_{0,m}^2 \sum_{r,q=0}^{\infty} P_{r,q}^2, \quad m \geq 1, \\
& \frac{dP_{n,0}^1}{dt} = -k_{p11}M^1P_{n,0}^1 - k_{p12}M^2P_{n,0}^1 + K_{p11}M^1P_{n-1,0}^1 + k_{p21}M^1P_{n-1,0}^2 - \\
& - K_{reg1}SP_{n,0}^1 - k_{d11}P_{n,0}^1 \sum_{r,q=0}^{\infty} P_{r,q}^1 - k_{d12}P_{n,0}^1 \sum_{r,q=0}^{\infty} P_{r,q}^2 - k_{r11}P_{n,0}^1 \sum_{r,q=0}^{\infty} P_{r,q}^1 - \\
& - k_{r12}P_{n,0}^1 \sum_{r,q=0}^{\infty} P_{r,q}^2, \quad n \geq 1, \\
& \frac{dP_{n,0}^2}{dt} = -k_{p21}M^1P_{n,0}^2 - k_{p22}M^2P_{n,0}^2 - K_{reg2}SP_{n,0}^2 - k_{d21}P_{n,0}^2 \sum_{r,q=0}^{\infty} P_{r,q}^1 - \\
& - k_{d22}P_{n,0}^2 \sum_{r,q=0}^{\infty} P_{r,q}^2 - k_{r21}P_{n,0}^2 \sum_{r,q=0}^{\infty} P_{r,q}^1 - k_{r22}P_{n,0}^2 \sum_{r,q=0}^{\infty} P_{r,q}^2, \\
& n \geq 0, \\
& \frac{dP_{n,m}^1}{dt} = -k_{p11}M^1P_{n,m}^1 + k_{p11}M^1P_{n-1,m}^1 - k_{p12}M^2P_{n,m}^1 + K_{p21}M^1P_{n-1,m}^2 - \\
& - K_{reg1}SP_{n,m}^1 - k_{d11}P_{n,m}^1 \sum_{r,q=0}^{\infty} P_{r,q}^1 - k_{d12}P_{n,m}^1 \sum_{r,q=0}^{\infty} P_{r,q}^2 - k_{r11}P_{n,m}^1 \sum_{r,q=0}^{\infty} P_{r,q}^1 - \\
& - k_{r12}P_{n,m}^1 \sum_{r,q=0}^{\infty} P_{r,q}^2, \quad n, m \geq 1 \\
& \frac{dP_{n,m}^2}{dt} = -k_{p21}M^1P_{n,m}^2 + k_{p22}M^2P_{n,m-1}^2 + K_{p12}M^2P_{n,m-1}^1 - k_{p22}M^2P_{n,m}^2 - \\
& - K_{reg2}SP_{n,m}^2 - k_{d21}P_{n,m}^2 \sum_{r,q=0}^{\infty} P_{r,q}^1 - k_{d22}P_{n,m}^2 \sum_{r,q=0}^{\infty} P_{r,q}^2 - k_{r21}P_{n,m}^2 \sum_{r,q=0}^{\infty} P_{r,q}^1 - \\
& - k_{r22}P_{n,m}^2 \sum_{r,q=0}^{\infty} P_{r,q}^2, \quad n, m \geq 1 \\
& \frac{dQ_{n,m}}{dt} = k_{d11}P_{n,m}^1 \sum_{r,q=0}^{\infty} P_{r,q}^1 + K_{d12}P_{n,m}^1 \sum_{r,q=0}^{\infty} P_{r,q}^2 + K_{d21}P_{n,m}^2 \sum_{r,q=0}^{\infty} P_{r,q}^1 + \\
& + K_{d22}P_{n,m}^2 \sum_{r,q=0}^{\infty} P_{r,q}^2 + \frac{k_{r11}}{2}P_{n,m}^1 \sum_{r=0}^n \sum_{q=0}^m P_{n-r,m-q}^1 + \frac{k_{r12}}{2}P_{n,m}^1 \sum_{r=0}^n \sum_{q=0}^m P_{n-r,m-q}^2 + \\
& + \frac{k_{r21}}{2}P_{n,m}^2 \sum_{r=0}^n \sum_{q=0}^m P_{n-r,m-q}^1 + \frac{k_{r22}}{2}P_{n,m}^2 \sum_{r=0}^n \sum_{q=0}^m P_{n-r,m-q}^2 + k_{reg1}SP_{n,m}^1 + k_{reg2}SP_{n,m}^2, \\
& n, m \geq 1.
\end{aligned} \tag{2.1}
\right.$$

Моменты молекулярномассового распределения неактивного и активных сополимеров

будем вычислять по формуле[3]:

$$\begin{aligned}\psi_k^Q &= \sum_{n=0}^{+\infty} \sum_{m=0}^{+\infty} (nM^1 + mM^2)^k Q_{n,m}, \\ \psi_k^{M^1} &= \sum_{n=0}^{+\infty} \sum_{m=0}^{+\infty} (nM^1 + mM^2)^k P_{n,m}^1, \\ \psi_k^{M^2} &= \sum_{n=0}^{+\infty} \sum_{m=0}^{+\infty} (nM^1 + mM^2)^k P_{n,m}^2,\end{aligned}\quad (2.2)$$

где  $k = 0, 1, \dots, \infty$ .

Вычисление среднечисловой и среднемассовой молекулярной массы неактивного сополимера будет производиться по следующим соотношениям:

$$\begin{aligned}M_n^Q &= \frac{\psi_1^Q}{\psi_0^Q}, \\ M_w^Q &= \frac{\psi_2^Q}{\psi_1^Q}.\end{aligned}\quad (2.3)$$

Для нахождения распределения «растущего» полимера используются производящие функции[3]:

$$\begin{aligned}G &= \sum_{n=0}^{+\infty} \sum_{m=0}^{+\infty} u_1^n u_2^m P_{n,m}^1, \\ F &= \sum_{n=0}^{+\infty} \sum_{m=0}^{+\infty} u_1^n u_2^m P_{n,m}^2.\end{aligned}\quad (2.4)$$

Для вычисления моментов молекулярномассового распределения используются производящие функции вида:

$$\begin{aligned}G(s, u) &= \sum_{n=0}^{+\infty} \sum_{m=0}^{+\infty} s^{n+m} u^{nw_a + mw_b} P_{n,m}^1, \\ F(s, u) &= \sum_{n=0}^{+\infty} \sum_{m=0}^{+\infty} s^{n+m} u^{nw_a + mw_b} P_{n,m}^2,\end{aligned}\quad (2.5)$$

полученные из (2.4) подстановкой  $u_1 = su^{w_a}$  и  $u_2 = su^{w_b}$  соответственно.

При переходе к непрерывным промышленным реакторным системам необходимо учитывать влияние гидродинамического и энергетического уровней[4].

В случае полной сегрегации ( $J = 1$ ) уравнение на выходе  $k$ -го реактора будет иметь вид:

$$m_j^{(k)}(t) = \int_0^t m_j^*(\tau) \psi^{(k)}(t - \tau) d\tau,\quad (2.6)$$

где  $\psi(t)$  - известная функция распределения времени пребывания. В случае идеального смешения для каскада из  $k$  реакторов(при равных объемах) имеет вид:

$$\psi^{(k)}(t) = \frac{t^{k-1} e^{-\frac{t}{\theta}}}{(k-1)! \theta^k}.\quad (2.7)$$

Модель процесса полимеризации в этом случае запишется следующим образом:

$$\begin{cases} \bar{Y}^{(k)}(t) = \int_0^t \bar{Y}^*(\tau) \psi^{(k)}(t - \tau) d\tau, \\ \frac{d\bar{Y}^*}{dt} = \bar{R}_y, \\ \bar{Y}^*(0) = \bar{Y}_{00}. \end{cases} \quad (2.8)$$

Если принять во внимание влияние температурного режима, модель реактора непрерывного действия примет вид:

$$\begin{cases} \theta \frac{dT^{(k)}}{dt} = T^{(k-1)} - T^{(k)} + \theta q_R^*(\bar{Y}, T) - K_{x,l}^*(T^{(k)} - T_{x,l}^{bx}), \\ \theta \frac{d\bar{Y}^{(k)}}{dt} = \bar{Y}^{(k-1)} - \bar{Y}^{(k)} + \theta \bar{R}(\bar{Y}, T), \end{cases} \quad (2.9)$$

где

$$\theta q_R^*(T) = \frac{\theta}{C_p} \sum_{i=1}^s (-\Delta H_i) r_i,$$

$Q_{x,l} = K_{x,l}^*(T - T_{x,l}^{bx})$  – теплоотвод за счет системы охлаждения,

$$\sum_{i=1}^s (-\Delta H_i) r_i = [(-\Delta H_i) r_i + (-\Delta H_p) r_p + (-\Delta H_{td}) r_{td}],$$

где  $r_i$ ,  $r_p$ ,  $r_{td}$  – суммарные скорости реакции на стадиях инициирования, роста и обрыва цепи.

## СПИСОК ЛИТЕРАТУРЫ

1. Семчиков Ю.Д. Высокомолекулярные соединения. – М.: Издательский центр “Академия”, 2003. – 368 с.
2. Подвальный С.Л. Моделирование промышленных процессов полимеризации. – М.: Химия, 1979. – 256 с.
3. Ray W.H., Douglas T.I., Godsalve E.W. Molecular weight distribution in copolymer systems. II Free radical copolymerization. // Macromolecules, – 1971. – № 4(2). – P. 166–174.
4. Кафаров В.В., Дорохов И.Н., Драницников Л.В. Системный анализ процессов химической технологии. – М.: Наука, 1991. – 350 с.

# Mathematical modeling of technological schemes of copolymerization.

© E. N. Miftakhov<sup>3</sup> L. I. Nasyrova<sup>4</sup>

**Abstract.** In this paper, a mathematical model of the kinetic scheme of the copolymerization. When modeling using moments method. In the transition to a continuous industrial reactor systems consider the effect of hydrodynamic and energy levels.

**Key Words:** copolymerization, kinetic scheme, method of moments.

---

<sup>3</sup>Post graduate student, Sterlitamak Teacher Training Academy after Z. Biyisheva, Sterlitamak; promif@mail.ru.

<sup>4</sup>Post graduate student, Sterlitamak Teacher Training Academy after Z. Biyisheva, Sterlitamak; prikladniki@rambler.ru